

8 Gerätefarben (d) $rgb_{\vec{d}}^* = olv^*$ in CIELAB: OYLVCVM und NW

Sechseck-Dreieck-System von Gerätefarben (d): $rgb_{\vec{d}}^* = olv^*$ mit **lineare Beziehungen** zwischen $rgb_{\vec{d}} \rightarrow olv^*$ und LCH^* (vergleiche lineare Beziehungen zwischen $rgb_{\vec{d}}$ und L^*)

Gleichungen $olv^* - LCH^*$ in beiden Richtungen sind publiziert: Richter, CIE-Proceedings, Beijing, 2008, Volume 3 und DIN 33872-1
 Drei Gleichungen (Tabellen) sind erforderlich für Büroanwendungen:
 $rgb_{\vec{d}} - LCH^*$ für ein $9 \times 9 \times 9$ -Gitter von $rgb_{\vec{d}}$ -Eingabefarben
 $olv^* - LCH^*$ ein $9 \times 9 \times 9$ -Gitter von Daten olv^* und LCH^*
 $olv^* - LCH^*$ Geräte-Linearisierung durch $rgb_{\vec{d}} \rightarrow olv^*$



KG29-01

8 Gerätefarben (d) $rgb_{\vec{d}}^* = olv^*$ in CIELAB: OYLVCVM und NW

Sechseck-Dreieck-System von Gerätefarben (d): $rgb_{\vec{d}}^* = olv^*$ mit **lineare Beziehungen** zwischen $rgb_{\vec{d}} \rightarrow olv^*$ und LCH^* (vergleiche lineare Beziehungen zwischen $rgb_{\vec{d}}$ und L^*)

Gleichungen $olv^* - LCH^*$ in beiden Richtungen sind publiziert: Richter, CIE-Proceedings, Beijing, 2008, Volume 3 und DIN 33872-1
 Drei Gleichungen (Tabellen) sind erforderlich für Büroanwendungen:
 $rgb_{\vec{d}} - LCH^*$ für ein $9 \times 9 \times 9$ -Gitter von $rgb_{\vec{d}}$ -Eingabefarben
 $olv^* - LCH^*$ ein $9 \times 9 \times 9$ -Gitter von Daten olv^* und LCH^*
 $olv^* - LCH^*$ Geräte-Linearisierung durch $rgb_{\vec{d}} \rightarrow olv^*$



KG29-02

6 Elementarfarben (e) $rgb_e^* = rgb^*$ in CIELAB: RJGB und NW

Sechseck-Dreieck-System von Elementarfarben (e): $rgb_e^* = rgb^*$ mit **lineare Beziehungen** zwischen $rgb_e \rightarrow rgb^*$ und LCH^* (vergleiche lineare Beziehungen zwischen $rgb_{\vec{d}}$ und L^*)

Gleichungen $rgb^* - LCH^*$ in beiden Richtungen sind publiziert: Richter, CIE-Proceedings, Beijing, 2008, Volume 3 und DIN 33872-1
 Drei Gleichungen (Tabellen) sind erforderlich für Büroanwendungen:
 $rgb_e - LCH^*$ für ein $9 \times 9 \times 9$ -Gitter von rgb_e -Eingabefarben
 $rgb^* - LCH^*$ ein $9 \times 9 \times 9$ -Gitter von Daten rgb^* und LCH^*
 $rgb^* - LCH^*$ Geräte-Linearisierung durch $rgb_e \rightarrow rgb^*$

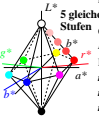


KG29-03

6 Elementarfarben (e) $rgb_e^* = rgb^*$ in CIELAB: RJGB und NW

Sechseck-Dreieck-System von Elementarfarben (e): $rgb_e^* = rgb^*$ mit **lineare Beziehungen** zwischen $rgb_e \rightarrow rgb^*$ und LCH^* (vergleiche lineare Beziehungen zwischen $rgb_{\vec{d}}$ und L^*)

Gleichungen $rgb^* - LCH^*$ in beiden Richtungen sind publiziert: Richter, CIE-Proceedings, Beijing, 2008, Volume 3 und DIN 33872-1
 Drei Gleichungen (Tabellen) sind erforderlich für Büroanwendungen:
 $rgb_e - LCH^*$ für ein $9 \times 9 \times 9$ -Gitter von rgb_e -Eingabefarben
 $rgb^* - LCH^*$ ein $9 \times 9 \times 9$ -Gitter von Daten rgb^* und LCH^*
 $rgb^* - LCH^*$ Geräte-Linearisierung durch $rgb_e \rightarrow rgb^*$



KG29-04

8 Gerätefarben (d) $rgb_{\vec{d}}^* = olv^*$ in CIELAB: OYLVCVM und NW

Sechseck-Dreieck-System von Gerätefarben (d): $rgb_{\vec{d}}^* = olv^*$ mit **lineare Beziehungen** zwischen $rgb_{\vec{d}} \rightarrow olv^*$ und LCH^* (vergleiche lineare Beziehungen zwischen $rgb_{\vec{d}}$ und L^*)

Gleichungen $olv^* - LCH^*$ in beiden Richtungen sind publiziert: Richter, CIE-Proceedings, Beijing, 2008, Volume 3 und DIN 33872-1
 Drei Gleichungen (Tabellen) sind erforderlich für Büroanwendungen:
 $rgb_{\vec{d}} - LCH^*$ für ein $9 \times 9 \times 9$ -Gitter von $rgb_{\vec{d}}$ -Eingabefarben
 $olv^* - LCH^*$ ein $9 \times 9 \times 9$ -Gitter von Daten olv^* und LCH^*
 $olv^* - LCH^*$ Geräte-Linearisierung durch $rgb_{\vec{d}} \rightarrow olv^*$



KG29-05

8 Gerätefarben (d) $rgb_{\vec{d}}^* = olv^*$ in CIELAB: OYLVCVM und NW

Sechseck-Dreieck-System von Gerätefarben (d): $cmY_{\vec{d}} = 1 - olv^*$ mit **lineare Beziehungen** zwischen $cmY_{\vec{d}} \rightarrow cmY^*$ und LCH^* (vergleiche lineare Beziehungen zwischen $rgb_{\vec{d}}$ und L^*)

Gleichungen $cmY^* - LCH^*$ in beiden Richtungen sind publiziert: Richter, CIE-Proceedings, Beijing, 2008, Volume 3 und DIN 33872-1
 Drei Gleichungen (Tabellen) sind erforderlich für Büroanwendungen:
 $cmY_{\vec{d}} - LCH^*$ für ein $9 \times 9 \times 9$ -Gitter von $cmY_{\vec{d}}$ -Eingabefarben
 $cmY^* - LCH^*$ ein $9 \times 9 \times 9$ -Gitter von Daten cmY^* und LCH^*
 $cmY^* - LCH^*$ Geräte-Linearisierung durch $cmY_{\vec{d}} \rightarrow cmY^*$

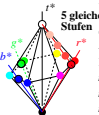


KG29-06

6 Elementarfarben (e) $rgb_e^* = rgb^*$ in CIELAB: RJGB und NW

Sechseck-Dreieck-System von Elementarfarben (e): $rgb_e^* = rgb^*$ mit **lineare Beziehungen** zwischen $rgb_e \rightarrow rgb^*$ und LCH^* (vergleiche lineare Beziehungen zwischen $rgb_{\vec{d}}$ und L^*)

Gleichungen $rgb^* - LCH^*$ in beiden Richtungen sind publiziert: Richter, CIE-Proceedings, Beijing, 2008, Volume 3 und DIN 33872-1
 Drei Gleichungen (Tabellen) sind erforderlich für Büroanwendungen:
 $rgb_e - LCH^*$ für ein $9 \times 9 \times 9$ -Gitter von rgb_e -Eingabefarben
 $rgb^* - LCH^*$ ein $9 \times 9 \times 9$ -Gitter von Daten rgb^* und LCH^*
 $rgb^* - LCH^*$ Geräte-Linearisierung durch $rgb_e \rightarrow rgb^*$

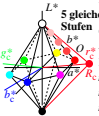


KG29-07

6 Elementarfarben (e) $rgb_e^* = rgb^*$ in CIELAB: RJGB und NW

Sechseck-Dreieck-System von Elementarfarben (e): $rgb_e^* = rgb^*$ mit **lineare Beziehungen** zwischen $rgb_e \rightarrow rgb^*$ und LCH^* (vergleiche lineare Beziehungen zwischen $rgb_{\vec{d}}$ und L^*)

Gleichungen $rgb^* - LCH^*$ in beiden Richtungen sind publiziert: Richter, CIE-Proceedings, Beijing, 2008, Volume 3 und DIN 33872-1
 Drei Gleichungen (Tabellen) sind erforderlich für Büroanwendungen:
 $rgb_e - LCH^*$ für ein $9 \times 9 \times 9$ -Gitter von rgb_e -Eingabefarben
 $rgb^* - LCH^*$ ein $9 \times 9 \times 9$ -Gitter von Daten rgb^* und LCH^*
 $rgb^* - LCH^*$ Geräte-Linearisierung durch $rgb_e \rightarrow rgb^*$



KG29-08